

# Uma Revisão sobre a Relação de BQP com outras Classes de Complexidade Computacional

---

**Henrique Hepp**<sup>1</sup>, Murilo V. G. da Silva<sup>1</sup>, Leandro M. Zatesko<sup>2</sup>  
hhepp@inf.ufpr.br

20 de setembro de 2019

<sup>1</sup>UFPR, <sup>2</sup>UTFPR

WPCCG 2019



# Uma Revisão sobre a Relação de BQP com outras Classes de Complexidade Computacional

1. Introdução
2. Computação Quântica
3. Classes de Complexidade
4. Conclusão

# Introdução

---

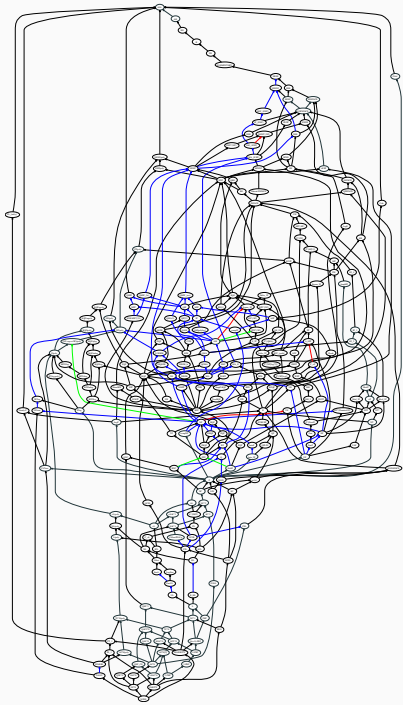
## Classe de Complexidade

Classificação de problemas computacionais de acordo com os recursos, como tempo e espaço, necessários para resolvê-los.

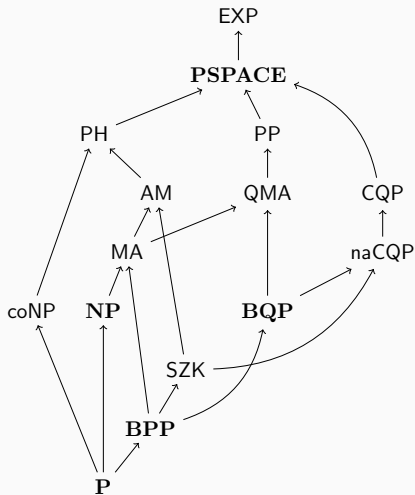
## Classe de Complexidade

Classificação de problemas computacionais de acordo com os recursos, como tempo e espaço, necessários para resolvê-los.

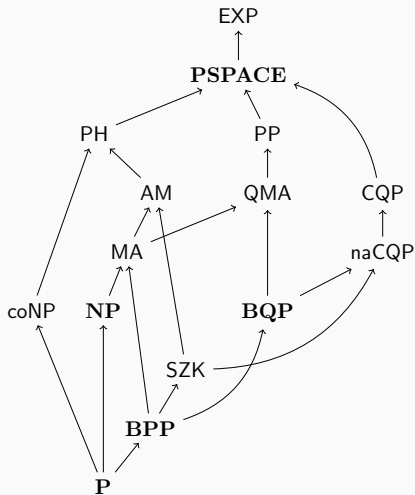
- Já foram definidas mais de 500 classes de complexidade.
- [https://complexityzoo.uwaterloo.ca/Complexity\\_Zoo](https://complexityzoo.uwaterloo.ca/Complexity_Zoo)



# Introdução



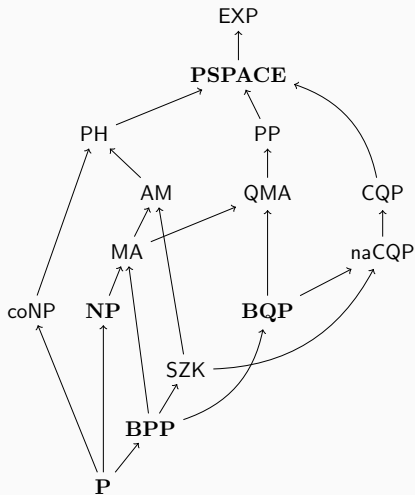
# Introdução



- $NP \stackrel{?}{=} P$



# Introdução



- $NP \stackrel{?}{=} P$
- $PSPACE \stackrel{?}{=} P$

# Computação Quântica

---

- Vetor de Estado

$$|\Psi\rangle = \begin{bmatrix} \alpha_0 \\ \alpha_1 \\ \vdots \\ \alpha_{N-1} \end{bmatrix} \quad \text{onde } \alpha_0, \dots, \alpha_{N-1} \in \mathbb{C} \text{ e } \sum_i |\alpha_i|^2 = 1$$

- Vetor de Estado

$$|\Psi\rangle = \begin{bmatrix} \alpha_0 \\ \alpha_1 \\ \vdots \\ \alpha_{N-1} \end{bmatrix} \quad \text{onde } \alpha_0, \dots, \alpha_{N-1} \in \mathbb{C} \text{ e } \sum_i |\alpha_i|^2 = 1$$

$$|\Psi\rangle = \alpha_0 \begin{bmatrix} 1 \\ 0 \\ \vdots \\ 0 \end{bmatrix} + \alpha_1 \begin{bmatrix} 0 \\ 1 \\ \vdots \\ 0 \end{bmatrix} + \dots + \alpha_{N-1} \begin{bmatrix} 0 \\ 0 \\ \vdots \\ 1 \end{bmatrix}$$

- Vetor de Estado

$$|\Psi\rangle = \begin{bmatrix} \alpha_0 \\ \alpha_1 \\ \vdots \\ \alpha_{N-1} \end{bmatrix} \quad \text{onde } \alpha_0, \dots, \alpha_{N-1} \in \mathbb{C} \text{ e } \sum_i |\alpha_i|^2 = 1$$

$$|\Psi\rangle = \alpha_0 \begin{bmatrix} 1 \\ 0 \\ \vdots \\ 0 \end{bmatrix} + \alpha_1 \begin{bmatrix} 0 \\ 1 \\ \vdots \\ 0 \end{bmatrix} + \dots + \alpha_{N-1} \begin{bmatrix} 0 \\ 0 \\ \vdots \\ 1 \end{bmatrix}$$

- Notação de Dirac:

$$|\Psi\rangle = \alpha_0 |0\rangle + \alpha_1 |1\rangle + \dots + \alpha_{N-1} |N-1\rangle$$

- Qubit

$$|\psi\rangle = \alpha_0 \begin{bmatrix} 1 \\ 0 \end{bmatrix} + \alpha_1 \begin{bmatrix} 0 \\ 1 \end{bmatrix}$$

- Qubit

$$|\psi\rangle = \alpha_0 \begin{bmatrix} 1 \\ 0 \end{bmatrix} + \alpha_1 \begin{bmatrix} 0 \\ 1 \end{bmatrix}$$

$$|\psi\rangle = \alpha_0 |0\rangle + \alpha_1 |1\rangle$$

- Qubit

$$|\psi\rangle = \alpha_0 \begin{bmatrix} 1 \\ 0 \end{bmatrix} + \alpha_1 \begin{bmatrix} 0 \\ 1 \end{bmatrix}$$

$$|\psi\rangle = \alpha_0 |0\rangle + \alpha_1 |1\rangle$$

- 2 Qubits

$$|\psi\rangle = \begin{bmatrix} \alpha_0 \\ \alpha_1 \end{bmatrix} \otimes \begin{bmatrix} \beta_0 \\ \beta_1 \end{bmatrix} = \begin{bmatrix} \alpha_0 \beta_0 \\ \alpha_0 \beta_1 \\ \alpha_1 \beta_0 \\ \alpha_1 \beta_1 \end{bmatrix}$$



- Qubit

$$|\psi\rangle = \alpha_0 \begin{bmatrix} 1 \\ 0 \end{bmatrix} + \alpha_1 \begin{bmatrix} 0 \\ 1 \end{bmatrix}$$

$$|\psi\rangle = \alpha_0 |0\rangle + \alpha_1 |1\rangle$$

- 2 Qubits

$$|\psi\rangle = \begin{bmatrix} \alpha_0 \\ \alpha_1 \end{bmatrix} \otimes \begin{bmatrix} \beta_0 \\ \beta_1 \end{bmatrix} = \begin{bmatrix} \alpha_0 \beta_0 \\ \alpha_0 \beta_1 \\ \alpha_1 \beta_0 \\ \alpha_1 \beta_1 \end{bmatrix}$$

$$|\psi\rangle = \alpha_0 |00\rangle + \alpha_1 |01\rangle + \alpha_2 |10\rangle + \alpha_3 |11\rangle$$

- $n$  Qubits

$$|\Psi\rangle = \alpha_0 |0\rangle + \alpha_1 |1\rangle + \cdots + \alpha_{2^n-1} |2^n - 1\rangle$$

$$|\Psi\rangle = \sum_{i=0}^{2^n-1} \alpha_i |i\rangle$$

onde  $\alpha_0, \dots, \alpha_{2^n-1} \in \mathbb{C}$  e  $\sum_{i=0}^{2^n-1} |\alpha_i|^2 = 1$

- Transformações Unitárias — Portas Quânticas

$$|\Psi'\rangle = U|\Psi\rangle$$

# Operações na Computação Quântica

- Transformações Unitárias — Portas Quânticas

$$|\Psi'\rangle = U |\Psi\rangle$$

- Porta Not

$$|\psi'\rangle = X |0\rangle = |1\rangle$$

# Operações na Computação Quântica

- Transformações Unitárias — Portas Quânticas

$$|\Psi'\rangle = U |\Psi\rangle$$

- Porta Not

$$|\psi'\rangle = X |0\rangle = |1\rangle$$

$$|\psi'\rangle = X \left( \frac{1}{\sqrt{3}} |0\rangle + \frac{\sqrt{2}}{\sqrt{3}} |1\rangle \right) = \frac{\sqrt{2}}{\sqrt{3}} |0\rangle + \frac{1}{\sqrt{3}} |1\rangle$$

# Operações na Computação Quântica

- Transformações Unitárias — Portas Quânticas

$$|\Psi'\rangle = U |\Psi\rangle$$

- Porta Not

$$|\psi'\rangle = X |0\rangle = |1\rangle$$

$$|\psi'\rangle = X \left( \frac{1}{\sqrt{3}} |0\rangle + \frac{\sqrt{2}}{\sqrt{3}} |1\rangle \right) = \frac{\sqrt{2}}{\sqrt{3}} |0\rangle + \frac{1}{\sqrt{3}} |1\rangle$$

- Porta Hadamard

$$|\psi'\rangle = H |0\rangle = \frac{1}{\sqrt{2}} |0\rangle + \frac{1}{\sqrt{2}} |1\rangle$$

# Operações na Computação Quântica

- Medições Quânticas

- Ao se medir  $|\Psi\rangle = \sum_{i=0}^{2^n-1} \alpha_i |i\rangle$  o estado *colapsa* em  $|i\rangle$  com probabilidade  $|\alpha_i|^2$

# Operações na Computação Quântica

- Medições Quânticas

- Ao se medir  $|\Psi\rangle = \sum_{i=0}^{2^n-1} \alpha_i |i\rangle$  o estado *colapsa* em  $|i\rangle$  com probabilidade  $|\alpha_i|^2$
- Exemplo:

$$M\left(\frac{1}{\sqrt{3}}|0\rangle + \frac{\sqrt{2}}{\sqrt{3}}|1\rangle\right) = \begin{cases} |0\rangle, & \text{com probabilidade } \frac{1}{3} \\ |1\rangle, & \text{com probabilidade } \frac{2}{3} \end{cases}$$



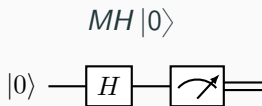
# Operações na Computação Quântica

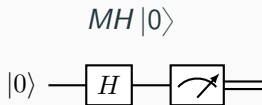
- Medições Quânticas

- Ao se medir  $|\Psi\rangle = \sum_{i=0}^{2^n-1} \alpha_i |i\rangle$  o estado *colapsa* em  $|i\rangle$  com probabilidade  $|\alpha_i|^2$
- Exemplo:

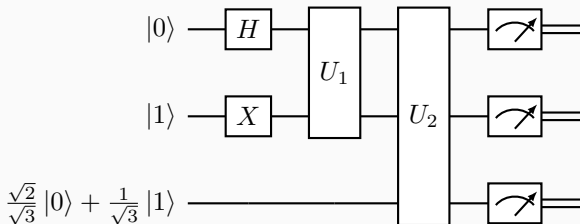
$$M\left(\frac{1}{\sqrt{3}}|0\rangle + \frac{\sqrt{2}}{\sqrt{3}}|1\rangle\right) = \begin{cases} |0\rangle, & \text{com probabilidade } \frac{1}{3} \\ |1\rangle, & \text{com probabilidade } \frac{2}{3} \end{cases}$$

$$M\left(\frac{1}{\sqrt{2}}|0\rangle + \frac{1}{\sqrt{2}}|1\rangle\right) = \begin{cases} |0\rangle, & \text{com probabilidade } \frac{1}{2} \\ |1\rangle, & \text{com probabilidade } \frac{1}{2} \end{cases}$$





- Um circuito qualquer



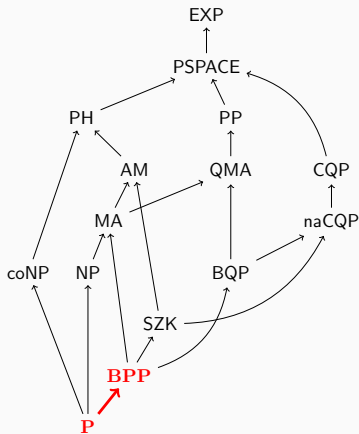
BQP é a classe de problemas de decisão que podem ser resolvidos por uma família uniforme de circuitos quânticos com tamanho polinomial.

# Classes de Complexidade

---

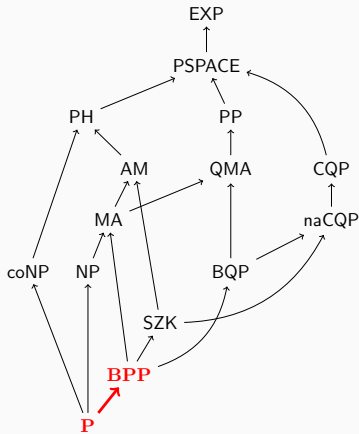
# Classes de Complexidade

- $P \subseteq BPP$



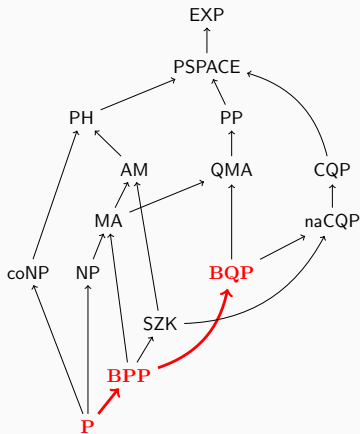
# Classes de Complexidade

- $P \subseteq BPP$ 
  - BPP é P mais bits aleatórios



# Classes de Complexidade

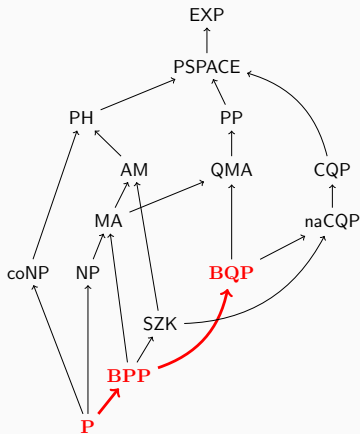
- $P \subseteq BPP$ 
  - BPP é P mais bits aleatórios
- $BPP \subseteq BQP$





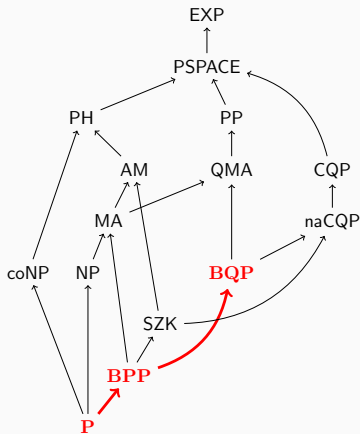
# Classes de Complexidade

- $P \subseteq BPP$ 
  - BPP é P mais bits aleatórios
- $BPP \subseteq BQP$ 
  - BQP simula circuitos clássicos



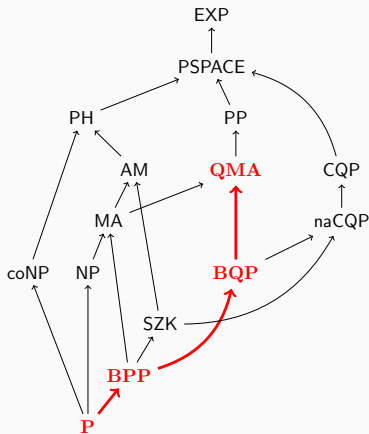
# Classes de Complexidade

- $P \subseteq BPP$ 
  - BPP é P mais bits aleatórios
- $BPP \subseteq BQP$ 
  - BQP simula circuitos clássicos
  - BQP gera bits aleatórios



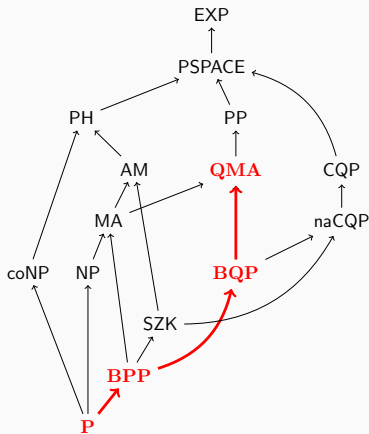
# Classes de Complexidade

- $P \subseteq BPP$ 
  - BPP é P mais bits aleatórios
- $BPP \subseteq BQP$ 
  - BQP simula circuitos clássicos
  - BQP gera bits aleatórios
- $BQP \subseteq QMA$



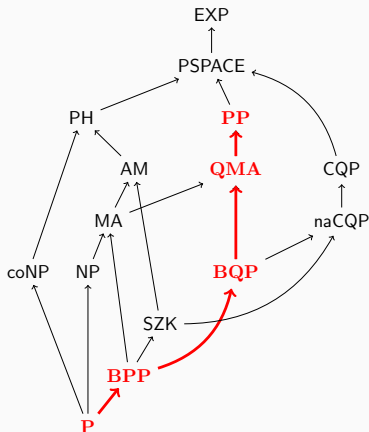
# Classes de Complexidade

- $P \subseteq BPP$ 
  - BPP é P mais bits aleatórios
- $BPP \subseteq BQP$ 
  - BQP simula circuitos clássicos
  - BQP gera bits aleatórios
- $BQP \subseteq QMA$ 
  - Análogo a  $P \subseteq NP$  e a  $BPP \subseteq MA$



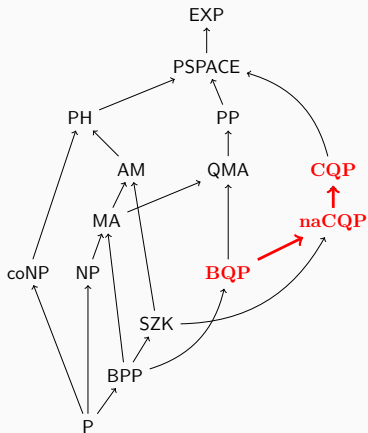
# Classes de Complexidade

- $P \subseteq BPP$ 
  - BPP é P mais bits aleatórios
- $BPP \subseteq BQP$ 
  - BQP simula circuitos clássicos
  - BQP gera bits aleatórios
- $BQP \subseteq QMA$ 
  - Análogo a  $P \subseteq NP$  e a  $BPP \subseteq MA$
- $QMA \subseteq PP$



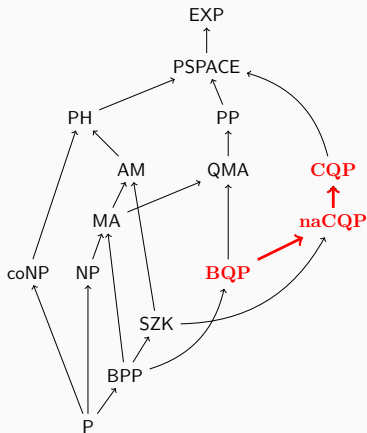
# Classes de Complexidade

- $BQP \subseteq naCQP \subseteq CQP$



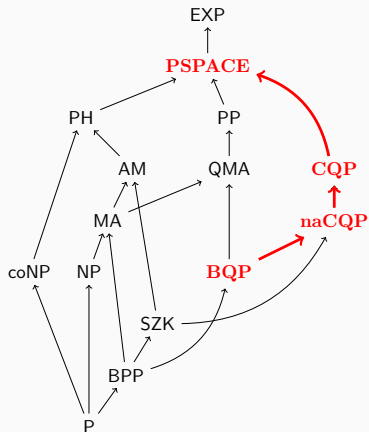
# Classes de Complexidade

- $BQP \subseteq naCQP \subseteq CQP$ 
  - CQP é BQP com medidas sem colapso



# Classes de Complexidade

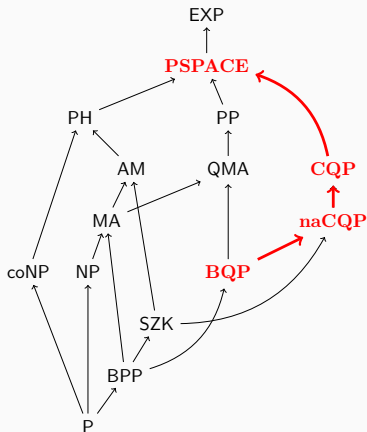
- $BQP \subseteq naCQP \subseteq CQP$ 
  - CQP é BQP com medidas sem colapso
- $CQP \subseteq PSPACE$





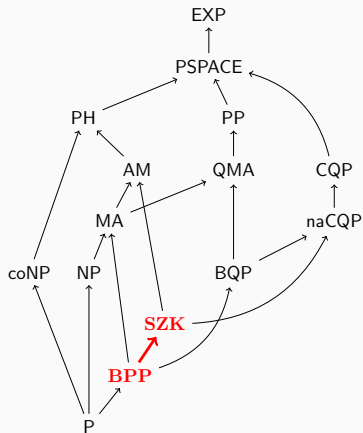
# Classes de Complexidade

- $BQP \subseteq naCQP \subseteq CQP$ 
  - CQP é BQP com medidas sem colapso
- $CQP \subseteq PSPACE$ 
  - $BPP^{PP}$  simula circuitos CQP e  $BPP^{PP} \subseteq PSPACE$



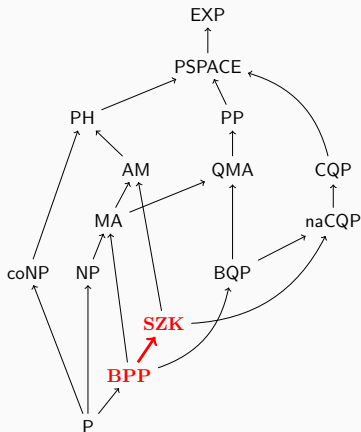
# Classes de Complexidade

- $BPP \subseteq SZK$



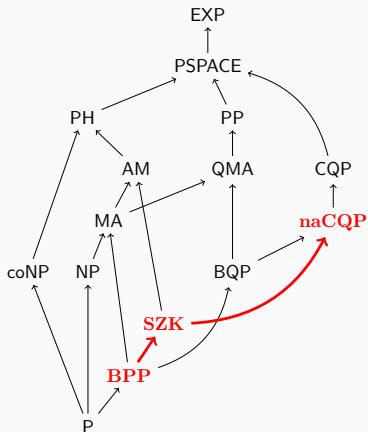
# Classes de Complexidade

- $BPP \subseteq SZK$ 
  - SZK usa um verificador BPP



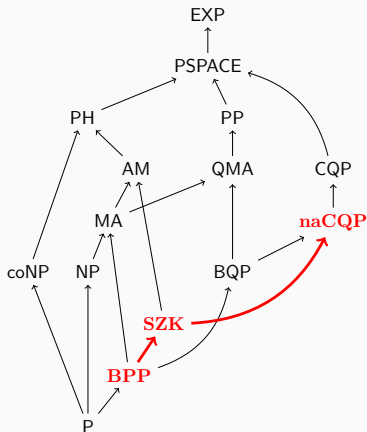
# Classes de Complexidade

- $BPP \subseteq SZK$ 
  - SZK usa um verificador BPP
- $SZK \subseteq naCQP$



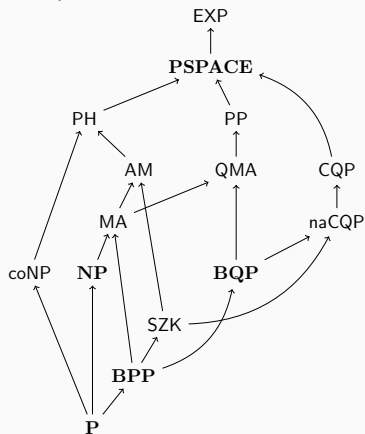
# Classes de Complexidade

- $BPP \subseteq SZK$ 
  - SZK usa um verificador BPP
- $SZK \subseteq naCQP$ 
  - naCQP resolve problemas completos de SZK

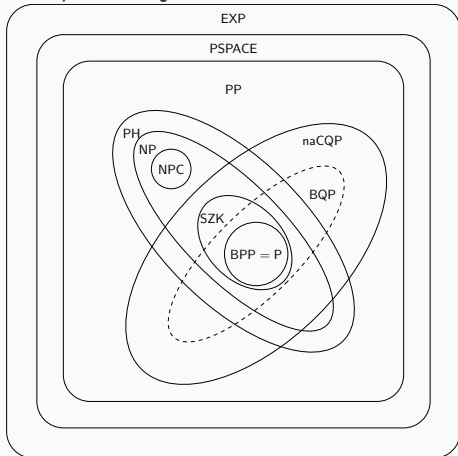


# Classes de Complexidade

## Relações confirmadas

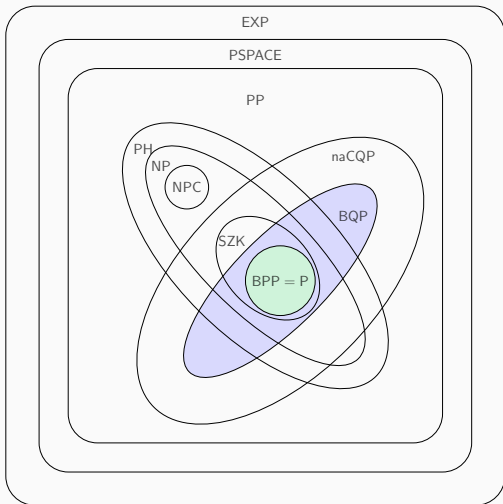


## Relações conjecturadas



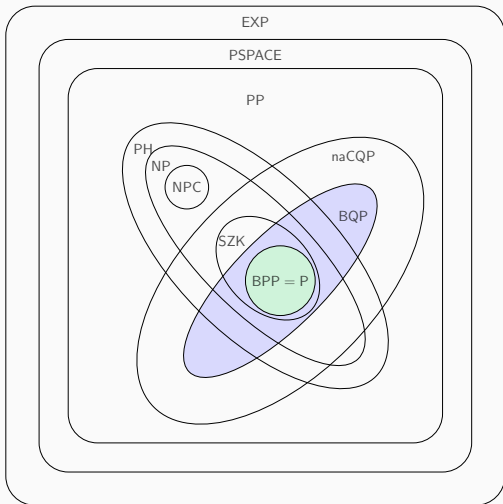
# Classes de Complexidade: Relações Conjeturadas

- $BPP = P$



# Classes de Complexidade: Relações Conjeturadas

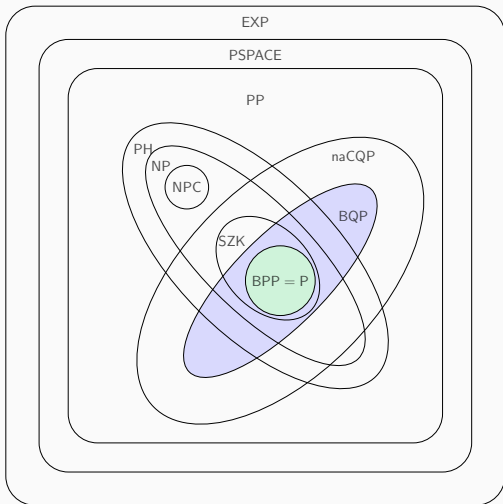
- $BPP = P$
- $BPP \subsetneq BQP$





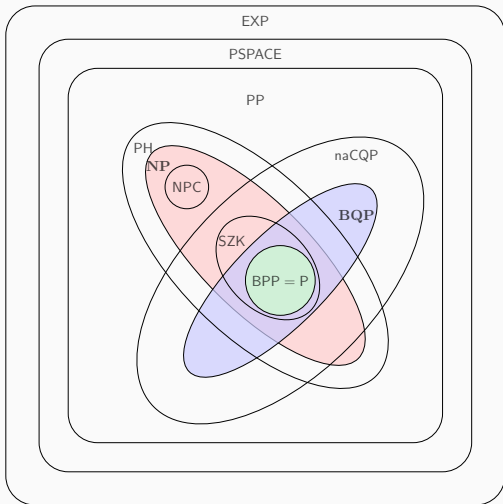
# Classes de Complexidade: Relações Conjeturadas

- $BPP = P$
- $BPP \subsetneq BQP$ 
  - Algoritmo de Shor



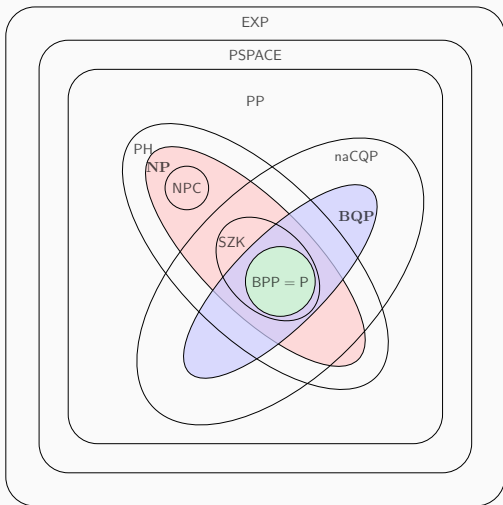
# Classes de Complexidade: Relações Conjeturadas

- $BPP = P$
- $BPP \subsetneq BQP$ 
  - Algoritmo de Shor
- $NP \not\subseteq BQP$



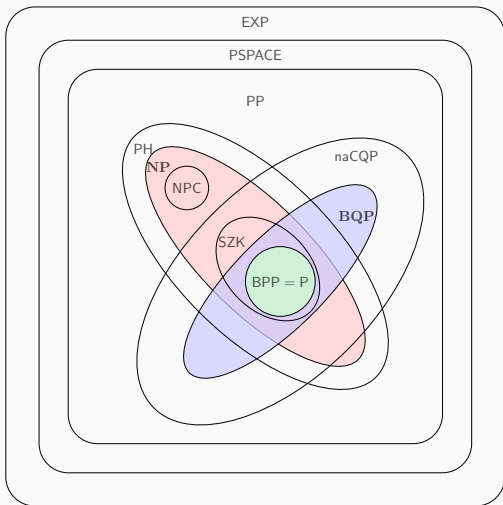
# Classes de Complexidade: Relações Conjeturadas

- $BPP = P$
- $BPP \subsetneq BQP$ 
  - Algoritmo de Shor
- $NP \not\subseteq BQP$ 
  - Busca no modelo “caixa-preta” dentro  $2^n$  itens em  $\Omega(2^{n/2})$



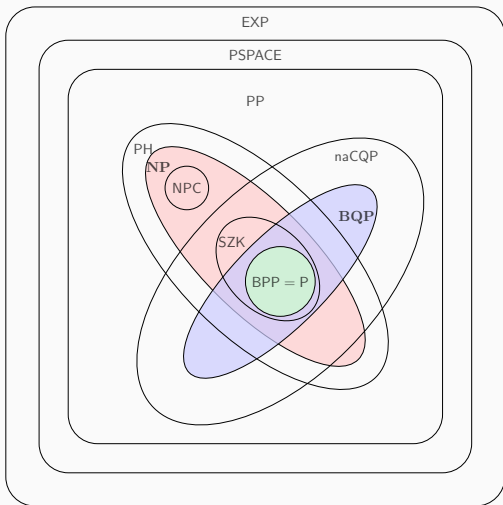
# Classes de Complexidade: Relações Conjeturadas

- $BPP = P$
- $BPP \subsetneq BQP$ 
  - Algoritmo de Shor
- $NP \not\subseteq BQP$ 
  - Busca no modelo “caixa-preta” dentro  $2^n$  itens em  $\Omega(2^{n/2})$
- $BQP \not\subseteq NP$



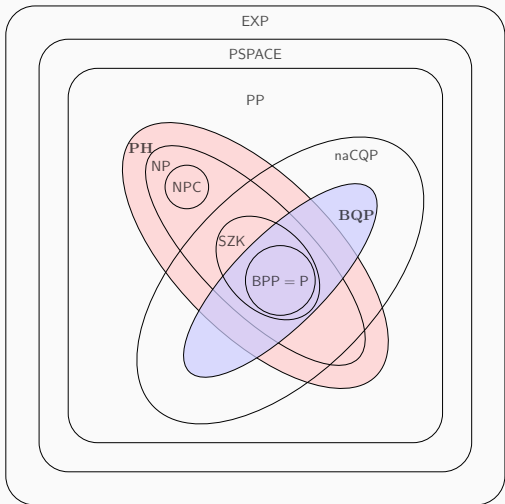
# Classes de Complexidade: Relações Conjeturadas

- $BPP = P$
- $BPP \subsetneq BQP$ 
  - Algoritmo de Shor
- $NP \not\subseteq BQP$ 
  - Busca no modelo “caixa-preta” dentro  $2^n$  itens em  $\Omega(2^{n/2})$
- $BQP \not\subseteq NP$ 
  - $BQP^A \not\subseteq NP^A$



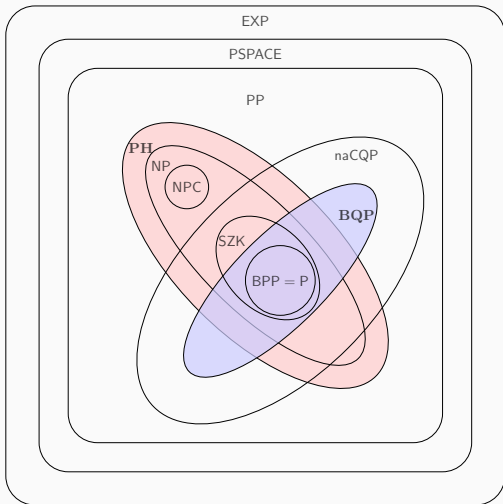
# Classes de Complexidade: Relações Conjeturadas

- $PH \not\subseteq BQP$



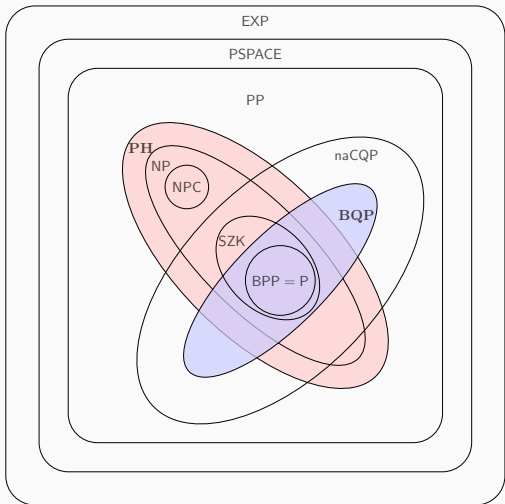
# Classes de Complexidade: Relações Conjeturadas

- $PH \not\subseteq BQP$ 
  - Muito mais improvável que  $NP \not\subseteq BQP$



# Classes de Complexidade: Relações Conjeturadas

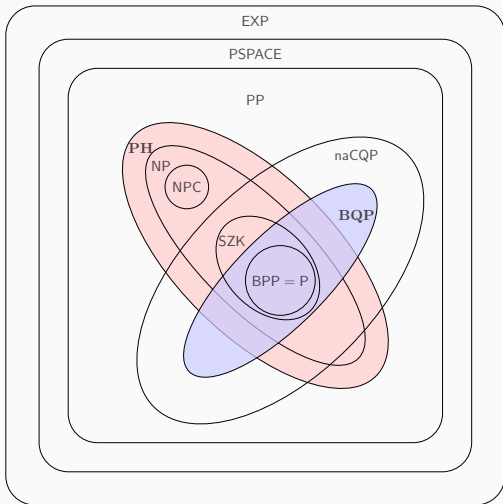
- $PH \not\subseteq BQP$ 
  - Muito mais improvável que  $NP \not\subseteq BQP$
- $BQP \not\subseteq PH$





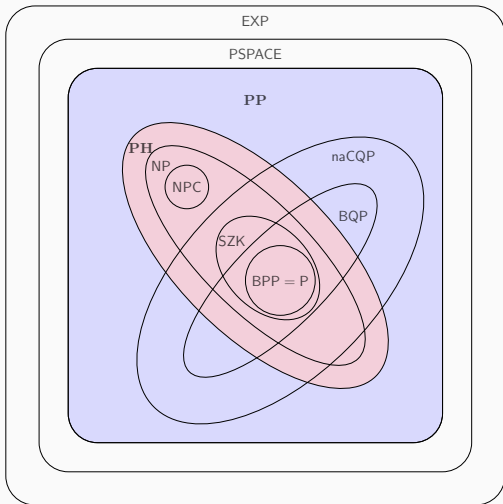
# Classes de Complexidade: Relações Conjeturadas

- $PH \not\subseteq BQP$ 
  - Muito mais improvável que  $NP \not\subseteq BQP$
- $BQP \not\subseteq PH$ 
  - $BQP^A \not\subseteq PH^A$



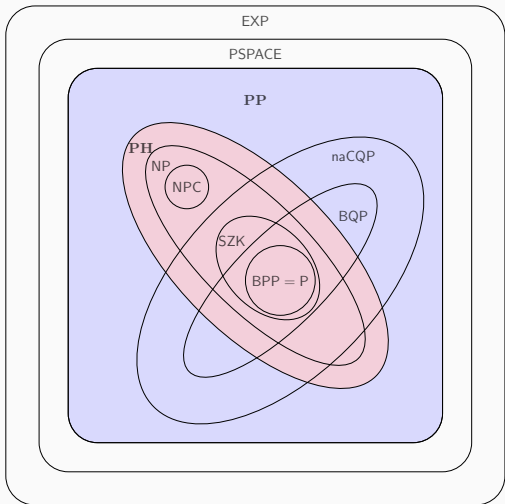
# Classes de Complexidade: Relações Conjeturadas

- $PH \subset PP$



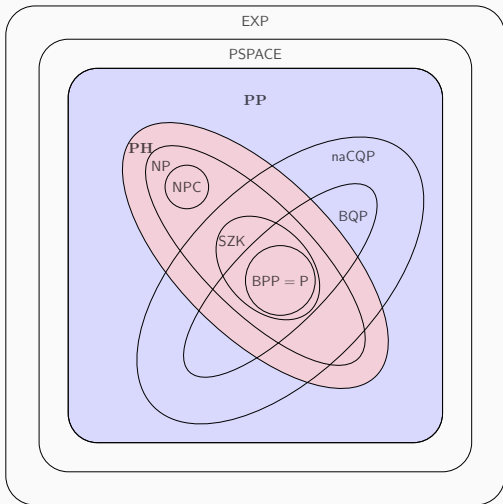
# Classes de Complexidade: Relações Conjeturadas

- $PH \subset PP$ 
  - Teorema de Toda implica:  
 $PH \subseteq BP \cdot PP$



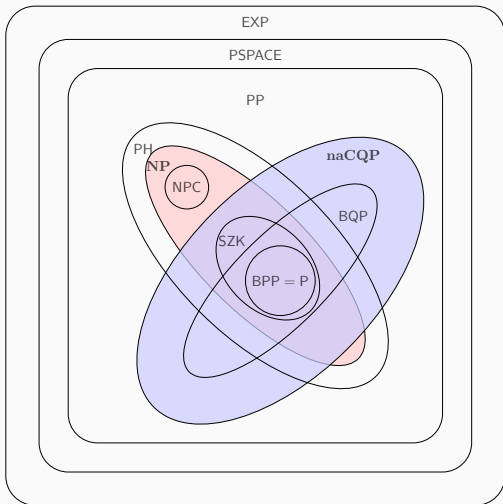
# Classes de Complexidade: Relações Conjeturadas

- $PH \subset PP$ 
  - Teorema de Toda implica:  
 $PH \subseteq BP \cdot PP$
  - Com hipóteses de desaleatorização:  
 $BP \cdot PP = PP$



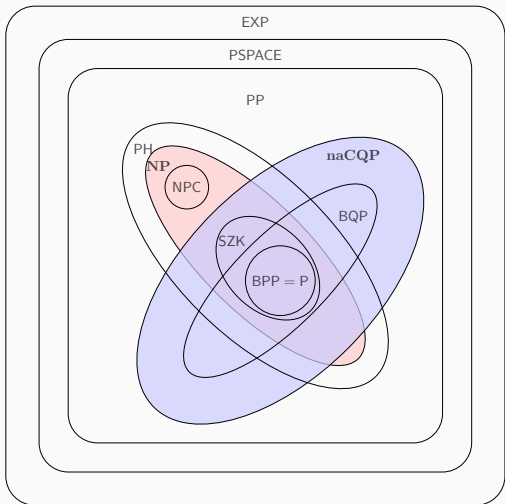
# Classes de Complexidade: Relações Conjeturadas

- $NP \not\subseteq naCQP$



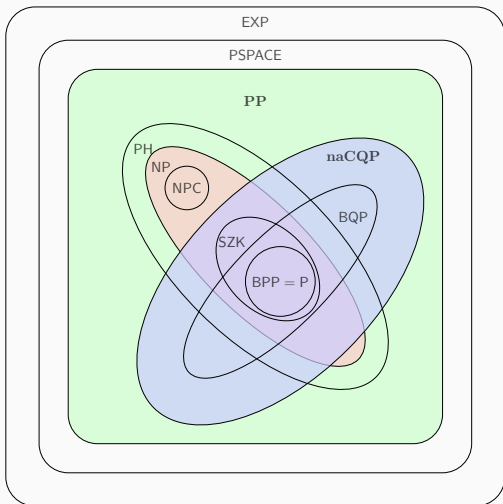
# Classes de Complexidade: Relações Conjeturadas

- $NP \not\subseteq naCQP$ 
  - Busca no modelo “caixa-preta” dentro de  $2^n$  itens em  $\Omega(2^{n/4})$



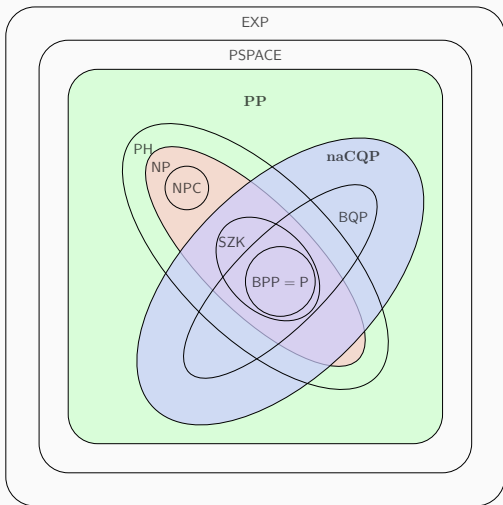
# Classes de Complexidade: Relações Conjeturadas

- $NP \not\subseteq naCQP$ 
  - Busca no modelo “caixa-preta” dentro de  $2^n$  itens em  $\Omega(2^{n/4})$
- $naCQP \subset PP$



# Classes de Complexidade: Relações Conjeturadas

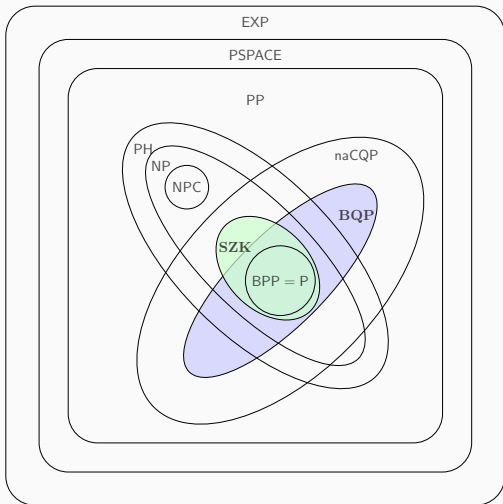
- $NP \not\subseteq naCQP$ 
  - Busca no modelo “caixa-preta” dentro de  $2^n$  itens em  $\Omega(2^{n/4})$
- $naCQP \subset PP$ 
  - Acredita-se que  $naCQP$  seja apenas um pouco maior que  $BQP$





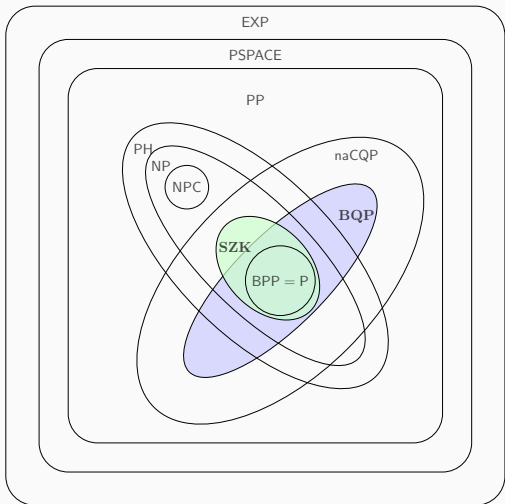
# Classes de Complexidade: Relações Conjeturadas

- $SZK \not\subseteq BQP$



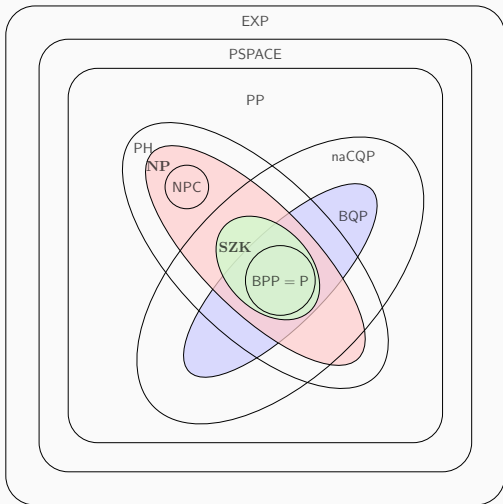
# Classes de Complexidade: Relações Conjeturadas

- $SZK \not\subseteq BQP$ 
  - $SZK^A \not\subseteq BQP^A$



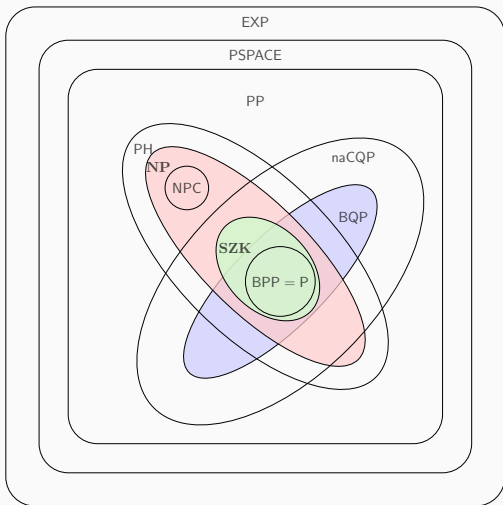
# Classes de Complexidade: Relações Conjeturadas

- $SZK \not\subseteq BQP$ 
  - $SZK^A \not\subseteq BQP^A$
- $SZK \subsetneq NP$



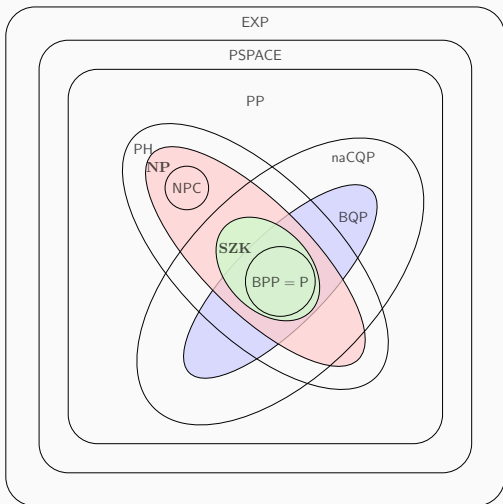
# Classes de Complexidade: Relações Conjeturadas

- $SZK \not\subseteq BQP$ 
  - $SZK^A \not\subseteq BQP^A$
- $SZK \subsetneq NP$ 
  - Contém problemas como fatoração que está em NP



# Classes de Complexidade: Relações Conjeturadas

- $SZK \not\subseteq BQP$ 
  - $SZK^A \not\subseteq BQP^A$
- $SZK \subsetneq NP$ 
  - Contém problemas como fatoração que está em NP
  - Se  $NP \subset SZK$ , PH colapsa.

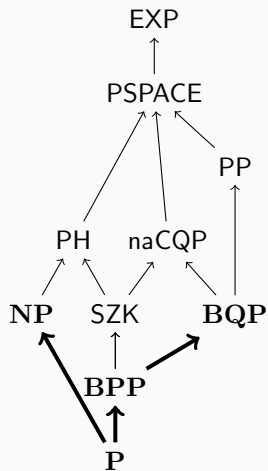


## Conclusão

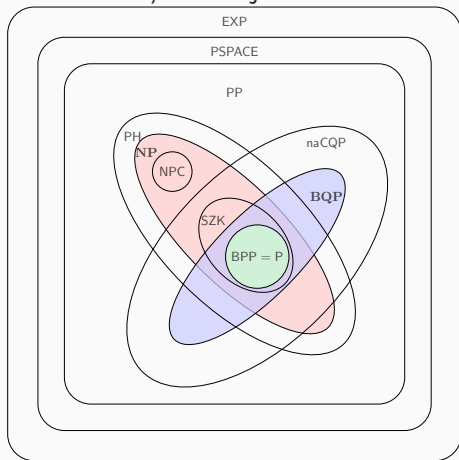
---

# Conclusão

## Relações confirmadas



## Relações conjecturadas



# Uma Revisão sobre a Relação de BQP com outras Classes de Complexidade Computacional

---

**Henrique Hepp**<sup>1</sup>, Murilo V. G. da Silva<sup>1</sup>, Leandro M. Zatesko<sup>2</sup>  
hhepp@inf.ufpr.br

20 de setembro de 2019

<sup>1</sup>UFPR, <sup>2</sup>UTFPR

WPCCG 2019

